

$S_4, S_4^t$

II-153

1952

S<sub>8</sub>, S<sub>6</sub>, S<sub>4</sub>, S<sub>2</sub> (D)

Braune H., Steinbacher E.

Z. Naturforsch., 1952, 7a, 486-93 (Heu.)

The dissociation of sulfur vapor.

Ch.A., 1954, III

H0, M, K.

✓ φ

1263

$\gamma(S_2, S_3, \underline{S_4}, S_5, S_6, {}^{12}S_7, S_8)$  XII 17

Bernowitz J., Lifshitz C.

J. Chem. Phys., 1968, EB, 400, 1936-  
1939 (see)

Photocitration of high-temperature  
were reported. It sulfur molecular  
species.

101 " 100 900

See Gray, 1263, 500, 283

1969

S<sub>4</sub><sup>2-</sup>

10 Б225. Спектр комбинационного рассеяния и силовые коэффициенты S<sub>4</sub><sup>2-</sup>. Ward A. T. Raman Spectrum and force constants of S<sub>4</sub><sup>2-</sup>. «Mater. Res. Bull.», 1969, 4, № 8, 581—590 (англ.)

В области 190—500 см<sup>-1</sup> исследован спектр КР сублимированной серы, р-ренной в насыщенном води. р-ре Na<sub>2</sub>S при комнатной т-ре. Спектр КР возбуждался линией 6328А He—Ne-лазера. Измерена степень деполяризации линий КР. В спектре КР наблюдалось 5 линий. 193 (p), 251 (dp), 419 (p), 454 (p) и 493 см<sup>-1</sup> (dp) (p — поляризованныя, dp — деполяризованная). Эти полосы отнесены молекуле S<sub>4</sub> (точечная группа C<sub>2</sub>). Крутильное кол. для S<sub>4</sub>, как ожидается, лежит ниже 100 см<sup>-1</sup> и не наблюдалось, по-видимому, из-за наложения широкого релеевского крыла возбуждающей линии. Произведен расчет частот наблюдавшихся нормальных кол. S<sub>4</sub> в приближении валентного силового поля с использованием следующих геометрич. параметров r<sub>S-S</sub>=2,04 Å для

автор:

М. В. Костюк

Х. 1970

10

всех трех длии связей,  $\angle SSS = 105^\circ$ , диэдрич. угол  $S-S-S=90^\circ$ . Приведен ряд аргументов в пользу того, что в исследованном р-ре существуют не нейтр. молекулы  $S_4$ , а ионы  $S_4^{2-}$ . На основании существования в р-ре ионов  $S_4^{2-}$  обсужден механизм кристаллизации ромбич. S (I) и тригонального Se (II) из р-ров I, II в водн. р-рах  $Na_2S$ . Попытки обнаружения ионов  $Se_4^{2-}$  в р-рах полиселенидов методом спектроскопии КР оказались неудачными из-за недостаточной конц-ии II в р-ре.

А. Александров

Sy<sup>2-</sup>

Pearson R. G.

1970

2000.

cis-pa

J. Chem. Phys.,

1970, 52, 5, 2164

(Ces G<sub>H<sub>2</sub></sub>)<sup>ij</sup>

1972

S<sub>4</sub>

5 Д404. ИК-спектры S<sub>4</sub>. Meuer B., Stroyer,  
Hansen T. Infrared spectra of S<sub>4</sub>. «J. Phys. Chem.»  
1972, № 26, 3968—3969 (англ.)

Получены ИК-спектры и спектры поглощения в видимой области серы, изолированной в матрицах из Ne, Ar, Kr и Xe при 20° К. Полосы 668; 483; 320 и 270 см<sup>-1</sup> в ИК-спектре и 5300 Å в видимом спектре относятся к поглощению молекулами S<sub>4</sub>. В некоторых матрицах наблюдается тонкая структура полосы 668 см<sup>-1</sup>, объясняемая наличием различных центров захвата. Полосы поглощения 647 см<sup>-1</sup> и 6250 Å, появляющиеся одновременно, относятся к соединениям типа S<sub>6</sub> или S<sub>8</sub>. Обсуждаются возможные структуры молекулы S<sub>4</sub>. Библ. 14.

Ю. М. Л.

ф. 1973 N.5

1942

S<sub>4</sub>

b) 35837r Infrared spectra of S<sub>4</sub>. Meyer, B.; Stroyer-Hansen, T. (Dep. Chem., Univ. Washington, Seattle, Wash.). *J. Phys. Chem.* 1972, 76(26), 3968-69 (Eng). In matrixes contg. S<sub>4</sub> at an M/R ratio of 100 to 500 at 20°K, uv absorption at 530 nm characteristic for S<sub>4</sub> appeared, and ir bands at 668, 483, 320, and 270 cm<sup>-1</sup> were found. Both the uv and ir spectrum gained intensity during annealing and irradn. with visible light. Fine structure of the 668-cm<sup>-1</sup> absorption, in Kr at 688, 681, 668, 660, 654, 647, 640, and 636 cm<sup>-1</sup>, is due to different normal vibrations, and to lattice sites and to a transient species which absorbs at 647 cm<sup>-1</sup>. A very weak absorption around 625 nm, apparently related to the 647-cm<sup>-1</sup> peak, belongs to a transient species, probably S<sub>6</sub> chains or S<sub>4</sub> rings.

(u.h)

C.d. 1973, 78, 16.

S03; S2O; S3; S4; 03(Vi) XI 3547 1973

Hopkins A.G., Tang Sheng-yuh,  
Brown C.W.

J. Amer. Chem. Soc., 1973, 95, N11, 3486-

Infrared and Raman spectra  
of the low-temperature pro-  
ducts from discharged sulfur  
dioxide.

Pre Lure, 1973, 215184 40

31119.9131

TE, Ch, Ph, KGU

S<sub>4</sub>

1973

1356

96559

Simon W. Bildung negativer Ionen in  
 der Gasphase von Schwefel und Selen  
 durch Elektronenstoss im Bereich der  
 dissoziativen Resonanzanlagerung. "Int.  
 J. Mass Spectrom. and Ion Phys.", 1973,  
 12, N 2, 159-174 (нем., рез. англ.)

987 989 09 99 1006 ник винити

S<sub>4</sub>

XII-1448

1974.

Kb. Mex.  
practis

103-166d (Bonding in sulfur containing molecules. Miller,  
D. J. (Freeport Sulphur Co., Belle Chasse, La.). *Can. Sulphur  
Symp., [Pap.]* 1974 (Pub. 1974), A, 12 pp. (Eng). Univ.  
Calgary, Dep. Chem.: Calgary, Can. A semiempirical MO  
method was used to study the bonding in S<sub>4</sub>, Se<sub>4</sub>, Te<sub>4</sub>, S<sub>6</sub>, S<sub>6</sub><sup>2-</sup>,  
and S<sub>8</sub>.

(+5) 17

C.A. 1975, 82 n16

50325.6191

Ch, Ph, Tc

41197 200.007р. 1975  
S<sub>4</sub><sup>2-</sup> (Ji) 465 - 8350

Daly Francis P., Brown Chris W.

Raman spectra of sodium tetrasulfide  
in primary amines. Evidence for S<sub>4</sub><sup>2-</sup>  
and S<sub>8</sub><sup>n-</sup> in rhombic sulfur-amine soluti-  
ons. "J.Phys.Chem.", 1975, 79, N4, 350-  
354

(англ.)

0326 пик

311 312

0318

ВИНИТИ

$S_2^-$ ,  $S_3^-$ ,  $\frac{S_4^{12+}}{2}$  ( $\gamma_{S-S}$ ) 1975  
Steudel R.,

Z. Naturforsch, B; Anorg. Chem.,  
Org. Chem., 1975, 30B (3-4), 281-2.

Determination of S-S bond  
distances from vibrational  
spectra.

C.A. 1975, 23 n2. 18378c. 10

⊕ 5

$S_4^{2-}$

У -14127

1976

22 Б172. Замечание к статье Стейдела «Отнесение нормальных колебаний и силовые постоянные для тетрасульфид-иона  $S_4^{2-}$ ». Daly Francis P., Brown Chris W. Comment on «Vibrational assignment and force constants of the tetrasulfide ion,  $S_4^{2-}$ » by R. Steudel. «J. Phys. Chem.», 1976, 80, № 13, 1518 (англ.)

Приведены аргументы, опровергающие сделанное Стейделом (см. пред. реф.) отнесение линии КР  $424 \text{ см}^{-1}$  к примеси, а не к основным колебаниям аниона  $S_4^{2-}$ .  
С. С. Букалов

Х. 1976. № 22.

1976

+ S<sub>4</sub>

55: 27015a Raman and ir spectra of solid alkali metal polysulfides. Eysel, Hans H.; Wieghardt, Gertraud; Kleinschmager, H.; Weddigen, G. (Anorg.-Chem. Inst., Univ. Heidelberg, Heidelberg, Ger.). Z. Naturforsch., B: Anorg. Chem., Org. Chem. 1976, 31B(4), 415-18 (Ger). The Raman, ir and fir spectra of polycryst. samples of the polysulfides Na<sub>2</sub>S<sub>4</sub>, K<sub>2</sub>S<sub>5</sub>, Na<sub>3</sub>S<sub>4</sub> were measured. A unique assignment of the internal vibrations of the tetrasulfide ion could be achieved.

(P<sub>1</sub>)

C. A. 1976 85 N4

$S_4^{2-}$

\* 6-14/27

1976

22 Б171. Отнесение нормальных колебаний и силовые постоянные для тетрасульфициона  $S_4^{2-}$ . Steude Ralf. Vibrational assignment and force constants of the tetrasulfide ion,  $S_4^{2-}$ . «J. Phys. Chem.», 1976, 80, № 13, 1516—1518 (англ.)

(V.I.)  
В приближении модифицированного силового поля Юри—Бредли выполнен расчет нормальных колебаний аниона  $S_4^{2-}$ . Для валентных силовых постоянных центральной и концевой связей получены значения, соотв., 2,32 и 2,37 мдн/А. Показано, что линия КР 424 см<sup>-1</sup>, относимая ранее к колебаниям иона  $S_4^{2-}$ , обусловлена примесью, вероятно, аниона  $S_5^{2-}$ . С. С. Букалов

X.1976. N<sup>o</sup> 22

$S_4^{2-}$

1976

X 03-14127

185; 54159g Vibrational assignment and force constants of  
the tetrasulfido ion,  $S_4^{2-}$ . Steudel, Ralf (Inst. Anorg. Anal.  
Chem., Tech. Univ. Berlin, Berlin, Ger.). *J. Phys. Chem.*  
1976, 80(13), 1516-18 (Eng). A new normal-coordinate  
treatment was carried out on  $S_4^{2-}$  and the results suggest that  
the band at  $424\text{ cm}^{-1}$  obsd. by F. P. Daly and Ch. W. Brown  
(*ibid.* 1975, 79, 350) and assigned to  $S_4^{2-}$  in the Raman spectrum  
of solid  $\text{Na}_2\text{S}_4$ , is due to an impurity.

Ans. nosr

It

C.A. 1976, 85. N 8

1976  
S4

1976

Cycl. No. 1

Di

85: 54160a Comment on "Vibrational assignment and force constants of the tetrasulfide ion,  $S_4^{2-}$ " by R. Steudel. Daly, Francis P.; Brown, Chris W. (Dep. Chem., Univ. Rhode Island, Kingston, R. I.). *J. Phys. Chem.* 1976, 80(13), 1518 (Eng). A reply to a polemic by R. Steudel (*ibid.* 1976, 80, 1516) is given.

C.A. 1976. 85. N8

1977

S4

87: 58789b Sulfur (S<sub>4</sub>): an ab initio study. *J. Mol. Structure (Theo. Chem.)*, *Res. Sci. Chem., Appl. Natl. Univ., Canberra, Australia*, *1977*, *16*(8), 2085-9 (Eng). The relative stability of ten possible electronic and conformational states of S<sub>4</sub> was studied.

K. H. Neck, J. Packer  
by ab initio STO-3G and 44-31G calcs. The STO-3G optimized geometry is significantly different from the 44-31G optimized geometry. Based on the present study in conjunction with previous exptl. and theor. enthalpies of formation for S<sub>4</sub>, the triplet helix diradical is predicted to be the most stable among all possible forms including the c-S<sub>4</sub>. The branched mol., sulfur trithiotrioxide (trigonal S<sub>4</sub>), which has been proposed by extended Hueckel calcs., seems unlikely to exist according to the present study. The validity of the use of mol. total overlap population to explain the order of relative stability is also examined.

Q: A. 1977. 87 w8

Омиса 6676

1978

$S_4^{2+}$

$S_4^0$

$S_4^{2-}$

касета -  
закрытый  
МО, струса

12 Д 165. Объяснение структурных различий  $S_4^{2+}$ ,  $S_4^0$  и  $S_4^{2-}$ . Foti Aniko E., Smith Vedene H., Salahub Dennis R. Explanation for the structural differences of  $S_4^{2+}$ ,  $S_4^0$  and  $S_4^{2-}$ . «Chem. Phys. Lett.», 1978, 57, № 1, 33—36 (англ.)

Методом рассеянных волн Ха в приближении ячеичного потенциала рассчитаны энергии МО и соответствующие им волны ф-ции тетрамеров серы  $S_4^{2+}$ ,  $S_4^0$  и  $S_4^{2-}$ . В случае ионов  $S_4^{2+}$  и  $S_4^{2-}$  расчеты проводились с использованием экспериментально определенной геометрической структуры: плоского квадрата, симметрия  $D_{4h}$  ( $S_4^{2+}$ ), и неплоской разомкнутой структуры, симметрия  $C_2$  ( $S_4^{2-}$ ). Для нейтральной молекулы  $S_4^0$  взята промежуточная плоская разомкнутая структура симметрии  $C_{2v}$ . Объясняются причины указанных изменений геометрической структуры тетрамеров серы при последовательном добавлении пары электронов.

О. В. Сизова

Ф.1978, N/2

допущен 6676 1978

$S_4^{2+}$   
 $S_4^0$   
 $S_4^-$   
 $S_4^{2-}$

24 Б31. Объяснение структурных отличий  $S_4^{2+}$ ,  $S_4^0$  и  $S_4^{2-}$ . Foti Aniko E., Smith Ir Vedene H., Salahub Dennis R. Explanation for the structural differences of  $S_4^{2+}$ ,  $S_4^0$  and  $S_4^{2-}$ . «Chem. Phys. Lett.», 1978, 57, № 1, 33—36 (англ.)

Методом ССП  $X_\alpha$  рассеянных волн рассчитано электронное строение молек. частиц  $S_4^{2+}$ ,  $S_4^0$  и  $S_4^{2-}$  для след. геометрич. конфигураций:  $S_4^{2+}$  — плоская квадратная ( $D_{4h}$ );  $S_4^0$  — открытая плоская ( $C_{2v}$ );  $S_4^{2-}$  — неплоская ( $C_2$ ). На основе полученного одноэлектронного спектра занятых и вакантных орбиталей, а также карт плотности волновых функций дано объяснение структурных отличий, наблюдавшихся при переходе от  $S_4^{2+}$  к  $S_4^0$  и  $S_4^{2-}$ . Основное состояние  $S_4^{2+}$  соответствует электронной конфигурации с полностью заполненными оболочками. При переходе от  $S_4^{2+}$  к  $S_4^0$  происходит сильная перестройка одноэлектронного спектра. Наибольшее изменение претерпевает вакантная MO  $e_u$  ( $D_{4h}$ ), энергия к-рой при переходе к  $S_4^0$  понижается на 4,5 эв и становится уровнем Ферми. При этом энергия «запрещенной зоны» сильно уменьшается и достигает значения 0,55 эв. При переходе

Электрон.  
структур.

2. 1978 № 24

от  $S_4^0$  к  $S_4^{2-}$  такого сильного изменения энергий MO не наблюдается. Большая «запрещенная зона» (3,4 эв) в  $S_4^{2-}$  согласуется со стабильностью молекулы при геометрии  $C_2$ . На основе анализа изменений электронного спектра сделан вывод, что растяжение связи S—S в  $S_4^{2+}$  способствует присоединению двух электронов при формировании  $S_4^0$ , а деформация молекулы вне плоскости способствует присоединению дополнительных двух электронов, позволяющих образоваться иону  $S_4^{2-}$ .

И. Тополь

бита.  
е г.

$S_4'$

$S_4^{2-}$

$S_4^{+2+}$

Comm. 6676

1978

89: 118181a Explanation for the structural differences of sulfur ( $S_4^{2+}$ ,  $S_4^0$  and  $S_4^{2-}$ ). Foti, Aniko E.; Smith, Vedene H., Jr.; Salahub, Dennis R. (Dep. Chem., Queen's Univ., Kingston, Ont.). *Chem. Phys. Lett.* 1978, 57(1), 33-6 (Eng). An explanation for the geometry changes upon successive double redns. of  $S_4^{2+}$  (square planar,  $D_{4h}$  sym.) to neutral  $S_4$  (for which the structure is unknown) and finally to  $S_4^{2-}$  (nonplanar,  $C_2$  sym.) is given on the basis of orbital eigenvalues and wave functions calcd. with the SCF  $X\alpha$  scattered-wave MO method.

CONFIRM.

NO. 6676.

P.A. 1978, 89, N14

отмечен 9227

1979

S<sub>4</sub><sup>2+</sup>

Se<sub>4</sub><sup>2+</sup>

Te<sub>4</sub><sup>2+</sup>

хв. исх.  
расчет

☒

(+2)

Х 1980 № 13

13 Б30. Теоретическое исследование дикатионов тетрасеры, тетраселена и тетрателлура методом МО. Tanaka Kazuyoshi, Yamabe Tokio, Tegamae Hiroyuki, Fukui Kenichi. An MO theoretical study on the dications of tetrasulfur, tetrasele-nium, and tetratellurium. «Inorg. Chem.», 1979, 18, № 12, 3591—3595 (англ.)

Полуэмпирическим методом ССП МО ЛКАО типа ЧПДП («Bull. Chem. Soc. Japan.», 1969, 42, 933) проведены расчеты электронного строения дикатионов  $X_4^{2+}$ , X=S, Se, Te. В расчетах использована экспериментальная геометрия —  $D_{4h}$  в случае серы и  $C_{4h}$  в случае селена и теллура с углами, близкими к прямым. Обсуждение электронного строения проведено с использованием локализованных МО, которые получены методом Эдми-

стона—Руденберга. Отмечена высокая степень локализации МО. Приведены значения орбитальных заселенностей, порядков  $\pi$ -связей, зарядов на атомах и двухцентровых вкладов в энергию. Отмечено, что все системы могут рассматриваться как хюккелевские бл-системы, а их оптич. спектры поглощения могут быть описаны переходами  $\pi(\text{ВЗМО}) \rightarrow \pi^*(\text{НВМО})$ . Рассчитанные значения сил осцилляторов синглетных переходов хорошо согласуются с наблюдаемыми интенсивностями. Показано, что строение  $\text{Te}_4^{2+}$  несколько отличается от двух др. дикатионов значительно большим *s*-характером неподеленных пар.

С. Долин

$S_4^{2-}$

$S_4^{2-}$

оптимик 9633

1980

18 Б32. Неэмпирическое исследование  $S_4^{2+}$  и  $S_4^{2-}$ .  
Kao James.  $S_4^{2+}$  and  $S_4^{2-}$ : an ab initio study. «J.  
Mol. Struct.», 1980, 63, № 2, 293—300 (англ.)

Методом ССП МО ЛКАО с использованием базиса 44—31 Гф рассчитаны различные геометрич. конфигурации ионов  $S_4^{2+}$  и  $S_4^{2-}$ . Для каждого иона рассчитывались синглетные электронные состояния в геометрич. конфигурациях: квадратной и трех возможных цепочных структурах (син, гоше и анти). Для  $S_4^{2+}$  рассматривались также синглетное состояние в прямоугольной структуре, и триплетное состояние в квадратной структуре ( $D_{4h}$ ). Для каждой из рассматриваемых структур  $S_4^{2+}$  и  $S_4^{2-}$  проведены полная оптимизация геометрич. параметров и анализ заселенностей по Малликену. Из-

Кв. цепь,  
гоше

XII - 204/3

Х 1980 № 18

менения геометрич. параметров и хим. связи при переходе от одной структуры к другой проанализированы в терминах изменения заселенности и эффективных зарядов атомов. Для  $S_4^{2+}$  установлено, что цепочная анти-форма является на 78,3 кдж/моль более стабильной, чем квадратная структура, что не согласуется с эксперим. данными. В квадратной конфигурации  $S_4^{2-}$  триплетное состояние на 47—53 кдж/моль лежит ниже синглетного состояния. Показано, что наиболее энергетически выгодной структурой  $S_4^{2-}$  является цепочная анти-структура, причем разность энергий между этой цепочной и прямоугольной структурами  $S_4^{2-}$  в синглетном состоянии составляет 173 кдж/моль. Отмечено, что наиболее стабильные возможные структуры  $S_4^+$  и  $S_4^-$  должны быть также цепочными.

И. А. Тополь

$S_4^{2+}$

$S_4^{2-}$

Кв. иск.  
расст

8 Д137.  $S_4^{2+}$  и  $S_4^{2-}$ , неэмпирическое исследование.  
 $S_4^{2+}$  and  $S_4^{2-}$ : an ab initio study. Kao James. «J. Mol. Struct.», 1980, 63, № 2, 293—300 (англ.)

Неэмпирическим методом ССП МО ЛКАО в базисе гауссовых ф-ций OCT-44-31ГФ исследовано электронное строение  $S_4^{2+}$  (I),  $S_4^{2-}$  (II) и  $S_4$  (III). Рассмотрены квадратная, син-, анти- и гошконформации, а для III также прямоугольная. Триплетное состояние квадратной конформации II рассчитано в рамках ограниченного и неограниченного метода Хартри—Фока. Приведена оптимизация геометрии. Приведены геометрич. и энергетич. характеристики. Показано, что для I наиболее выгодна антиконформация (квадратная на 78,3 кдж/моль менее выгодна) с валентными углами  $104,9^\circ$ , причем терминальные связи ( $2,055 \text{ \AA}$ ) короче не только центральной ( $2,383$ ), но и связей в III ( $2,19$ —

XII-2043

© 1980 N8

Экспоненциал 9633

1980

2,23), т. е. I обладает бутадиеноподобной структурой. Для II наиболее выгодна антиконформация с углом  $105,7^\circ$  и длинами терминальных и центральной связи 2,281 и 2,301 Å; а для III — триплетная гошконформация с углом  $104,1^\circ$ . На основании полученных результатов высказано предположение, что  $S_4^+$  и  $S_4^-$  также должны обладать цепной, а не циклич. структурой.

В. Л. Лебедев

$S_4^{12-}$

XII-2050

1980

ab initio Trsic N., daidlaw W.f.;  
pacrem

Int. J. Quantum. Chem.,  
1980, 17, N5, 969-974.

$S_4^{2+}$

[Omnuck 13201] 1981

$S_4$

Kb.  $\text{Ce}(\text{IV})$ -  
paeriu.

Bhattacharyya A.A.,  
et al.

J. Amer. Chem. Soc.,  
1981, 103, N25, 7458-  
-7465.

(rec.  $\text{SN}_2$ ; III)

$S_4$  Cuthbertson A.F., 1981  
 $S_4^{+2}$  et al.

Izv. Akad. Nauk. SSSR, ser. khim. 1981, 49, 91-97.

KB. MEX.  
pacensis.

(cer.  $\text{Si}_4^{+2}$ ,  $\text{Si}_4^0$ ,  $\text{Si}_4^-$ )

$S_4^{2+}$

Omnick 16105

1982

Burns R., Fillespie R.J.

Koniam-  
creek,  
Atlanta,  
Ga.  
10 cm.

Inorg. Chem., 1982, 21,  
N11, 3877 - 3886.

S<sup>t</sup> 2t  
S<sub>4</sub>

1982

' 98: 62373f Resonance Raman spectroscopic studies on the Group 6A polyatomic cations  $S_4^{2+}$ ,  $Se_4^{2+}$ , and  $Te_4^{2+}$ . Clark, Robin J. H.; Dines, Trevor J.; Ferris, Lindsay T. H. (Christopher Ingold Lab., Univ. Coll., London, UK WC1H 0AJ). *J. Chem. Soc., Dalton Trans.* 1982, (11), 2237-42 (Eng). The Raman and resonance Raman spectra of  $S_4^{2+}$  and  $Se_4^{2+}$  in oleum at room temp., of  $Te_4^{2+}$  in  $H_2SO_4$ , and of  $Te_4(Al_2Cl_7)_2$  at  $\sim 80$  K were recorded with a variety of excitation lines. The resonance spectra display long progressions,  $\nu_1\nu_1$ , in the  $\nu_1(a_{1g})$  mode in each case, together with shorter progressions of the type  $\nu_1\nu_1 = \nu_2(b_{1g})$ . Anal. of the results leads to harmonic wavenos. of 584.7, 321.8, and 219.5  $cm^{-1}$  for  $S_4^{2+}$ ,  $Se_4^{2+}$ , and  $Te_4^{2+}$ , resp., in soln. and anharmonicity consts. of -0.35, -0.55, and -0.30  $cm^{-1}$ , resp. Stretching force consts. (valence force field) in soln. are 2.78, 2.10, and 1.45 mdyne/ $\text{\AA}$ , resp., the trans bond stretch-stretch interaction consts. being more than an order of magnitude greater than the cis bond ones. The  $\nu_1$  band excitation profile of each ion maximizes within the band contour of its lowest allowed electronic transition, i.e. those at 330, 410, and 510 nm for  $S_4^{2+}$ ,  $Se_4^{2+}$ , and  $Te_4^{2+}$ , resp. These results, coupled with detailed measurements on the Raman band polarizations at resonance, indicate that the assignment of the lowest allowed transition of each ion is  $\pi^*(b_{2u}) \leftarrow \pi(e_g)$ ,  ${}^1E_u \leftarrow {}^1A_{1g}$ .

CKP, Wi,  
Wiki, Cud-NOT.  
~~V. D. F. T. A.~~  
C.A. 1983, 98, N8.

*S<sub>4</sub><sup>2+</sup>*

1982

З Б1042. Расчеты методом ССП МО ЛКАО плоских квадратных молекул халькогенов  $X_4^{2+}$  и  $X_4$  ( $X=S, Se, Te$ ). SCF mo calculations on square planar chalcogene molecules  $X_4^{2+}$  and  $X_4$  ( $X=S, Se, Te$ ). Group O., Sathre L. J., Wisloff-Nilssen E. «Curr. Aspects Quantum Chem., 1981. Proc. Int. Conf. and Workshop, Barcelona, 28 Sept.—3 Oct., 1981». Amsterdam e. a., 1982, 427—435 (англ.)

~~(15)~~ (15) Методом ССП МО ЛКАО в приближении эффективного остовного потенциала рассчитано электронное строение и равновесные межъядерные расстояния в плоских квадратных молекулах и ионах халькогенов  $X_4$  и  $X_4^{2+}$ , где  $X=S, Se, Te$ . Исследована зависимость межъядерных расстояний от вида используемых валентных базисов сгруппированных гауссовых функций. Показано, что величины равновесных межъядерных расстояний, близкие к эксперим. значениям, могут быть получены при использовании двухэкспонентных валентных базисов.

компьютер, супр.

М.Л.

Х. 1984, 19, № 3

*S<sub>4</sub>, Se<sub>4</sub>, Te<sub>4</sub>, S<sub>4</sub><sup>2+</sup>, Te<sub>4</sub><sup>2+</sup>*

сов с учетом поляризац.  $d$ -функций, причем необходим тщательный выбор показателей степени экспонент поляризац. функций. Исследована зависимость получаемых результатов от изменения параметров эффективного основного потенциала. Для атомов S, Se и Te приведены оптимизированные параметры эффективных основных потенциалов в представлении Хузинаги и оптимизированные показатели степени экспонент поляризац. гауссовых  $d$ -функций для каждого из атомов халькогенов.

И. А. Тополь

$S_4$ ,  $S_4^{2+}$

1982

98: 78350g SCF MO calculations on square planar chalcogene molecules  $X_4^{2+}$  and  $X_4$  ( $X = S, Se, Te$ ). Gropen, O.; Saethre, L. J.; Wisloeff-Nilssen, E. (Inst. Math. Phys. Sci., Univ. Tromsoe, Tromsoe, Norway). *Stud. Phys. Theor. Chem.* 1982, 21(Curr. Aspects Quantum Chem. 1981), 427-35 (Eng). MO SCF calcns. with effective core potential (V. Bonifacis and S. Huzinaga, 1974) were made on the title mols. with square planar geometry. The results for bond lengths are compared with previous theor. and exptl. data. A double zeta quality basis set augmented with  $d$  functions for polarization is necessary to obtain reliable results for compds. contg. chalcogen atoms. The method of effective core potentials has proved to be a reliable procedure for these and similar compds.

meopen  
macem

(+2) ~~☒~~

$Se_4$ ,  $Se_4^{2+}$   
 $Te_4$ ,  $Te_4^{2+}$

C. A. 1983, 88, N10.

$S_4^{\prime}$  (cav.  $S_4^-$ )

1983

et. n.,  
CKP

Clark Robin M.,  
Fairclough David P. et  
Time-Resolved Vib. al.  
Spectrosc. [Proc. Int.  
Conf. TRVS] 1982 (Pub. 1983),  
213-218.

(cav.  $S_2^-$ ;  $\underline{III}$ )

S<sub>4</sub>

(Dmanick 16089)

1983

Rosenzweig W., Giradet et al.,

Int. J. Mass Spectrom. and  
Ion Phys., 1983, 47, 239-

-242.

$S_4^+$

1984

Baird N. Colin.

Dicarboxylic  
anhydrides

J. Comput. Chem.,  
1984, 5, n1, 35-43.

(cet.  $S^n$ ; III)

S<sub>4</sub><sup>2+</sup>

(OM. 20884)

1984

Clark R.J.M.,

(Pi, We, Wede)

Chem. Soc. Rev., 1984,  
13, N3, 219—244.

$S_4$       DM. 20334      1984

Feng W.L., Novaro O.,  
et al.

meopen.  
pacrim  
cetylpykn.

Chem. Phys. Lett. 1984,  
III(3), 297-302.

● (c.u.  $O_3$ ; III)

S<sub>4</sub> (Om. 20577) 1984

Feng L., Novaro O.,

номера:  
номенк.  
Энергии,  
изопем.  
параметр.

Int. J. Quantum. Chem.,  
1984, 26, N4, 521-533.

*S<sub>4</sub><sup>2+</sup>*

1985

12 Д94. Некоторые аспекты применения методов MO и ВС для циклических 6-электронных 4-центровых связанных фрагментов и исследование  $J_4^{2+}$  методом ВС. Some aspects of the MO and VB theory for cyclic 6-electron 4-centre bonding units, and VB studies for  $J_4^{2+}$ . Нагсоут Richard D. «J. Mol. Struct.», 1985, 122, № 3—4, Suppl.: «Theochem», 23, № 3—4, 235—247 (англ.).

Для циклических 6-электронных 4-центровых связанных фрагментов симметрии  $D_{4h}$  или  $D_{2h}$  предложена качеств. схема MO с учетом конфигурац. взаимодействия (KB). Такие фрагменты имеются в  $A_4^{2+}$  ( $A=S$ ,  $Se$ ,  $Te$ ),  $S_2N_2$ ,  $S_6N_4^{2+}$ ,  $[(C_2F_5)_2Se_2]^{2+}$  и  $J_4^{2+}$  (I), каждый из которых обладает 2-электронной 4-центровой связью  $\pi$ - или  $(\sigma+\pi')$ -типа. Построены локализованные MO, с помощью которых волн. ф-ция представлена в виде линейной комбинации «ковалентных» и «ионных» конфигураций, причем ковалентные оказываются более важными. Ковалентные конфигурации генерируют структуры с повышенной валентностью, включающие в

*структуре*

*+6*

*φ. 1985, 18, N 12*

*S<sub>4</sub><sup>2+</sup>, Te<sub>4</sub><sup>2+</sup>, S<sub>2</sub>N<sub>2</sub>...*

качестве компонентов 3-электронные связи по Гаулингу, являющиеся первичными валентными структурами (ВС) для основного состояния. Связь в I описана с помощью структур с повышенной валентностью и льюисовских структур. Для I проведена полуэмпирическая и неэмпирич. оценка весов ВС. Обнаружено, что первичными льюисовскими структурами являются структуры с «длинными» связями. Библ. 36.

Резюме

нер  
трия

$S_4^{2+}$

1985

3 Б1010. Некоторые аспекты теории циклических фрагментов с 6-электронным 4-центровым связыванием, основанной на методах MO и валентных схем (ВС) и исследование  $J_4^{2+}$  методом ВС. Some aspects of the MO and VB theory for cyclic 6-electron 4-centre bonding units, and VB studies for  $J_4^{2+}$ . Нагсорт R. D. «J. Mol. Struct.», 1985, 122, № 3—4, Suppl.: «Theo-chem», 23, № 3—4, 235—247 (англ.)

(\*) Развита качеств. теория электронного строения циклич. 6-электронных 4-центровых систем симметрии  $D_{4h}$  и  $D_{2h}$  типа  $A_4^{2+}$  ( $A=S$ ,  $Se$ ,  $Te$ ),  $S_2N_2$ ,  $S_6N_4^{2+}$ ,  $[(C_2F_5)_2Se_2]^{2+}$ ,  $J_4^{2+}$ . Показано, что подобные системы могут быть описаны как структуры с повышенной валентностью, в к-рых связывание обусловлено резонансом ВС, описывающих двухэлектронные связи  $A-B$ ,  $C-D$  и одноэлектронную связь между разрыхляющими MO соотв. фрагментов (3-электронные связи по Полянгу). В кач-ве иллюстрации выполнены полуэмпирич.

18

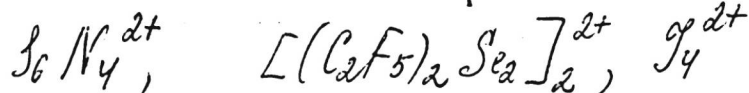
46

Х. 1986, 19, № 3

$Se_4^{2+}$ ,  $Te_4^{2+}$ ,  $S_2N_2$ ,

и неэмпирич. расчеты методом ВС молек. иона  $J_4^{2+}$ .  
В полуэмпирич. расчете использовано приближение ну-  
левого дифференциального перекрывания, а параметры  
метода оценены по эксперим. данным для атома J  
и молекулы  $J_2$ . Неэмпирич. расчеты проведены в базисе  
OCT-5 ГФ. Расчеты показали, что наряду со структу-  
рами с повышенной валентностью в связывание вносят  
вклад льюисовские структуры с «длинными» (диаго-  
нальными) связями.

А. А. Багатурьянц



S<sub>4</sub><sup>2+</sup>

1985

(Om. 21365)

ab initio  
pacem

103: 11730j Ab initio valence bond calculations and the spin-paired diradical character of S<sub>4</sub><sup>2+</sup>. Skrezenek, Frances L.; Harcourt, Richard D. (Dep. Phys. Chem., Univ. Melbourne, Parkville, 3052 Australia). *Theor. Chim. Acta* 1985, 67(4), 271-4 (Eng). For cyclic S<sub>4</sub><sup>2+</sup> in the ground state, the  $\pi$ -bond and  $\sigma$ -bond electron densities and total energies corresponding to different VB wts. [W<sub>i</sub>] were obtained in ab-initio VB calcs. with STO-6G basis sets for the s and p orbitals. Each of the VB calcs. gave the largest W<sub>i</sub> values to the 2 long-bond (spin-paired diradical) VB structures, the sum of which was ~50% of the total wt.

c.A.1985, 103, N2

S<sub>4</sub>  
S<sub>4</sub>  
расчет

1985

20 Б1029. Неэмпирический расчет спин-спаренного состояния бирадикала  $S_4^{2+}$  методом валентных связей.  
Ab initio valence bond calculations and the spin-paired diradical character of  $S_4^{2+}$ . Skrezenek Frances L., Hargourt Richard D. «Theor. Chim. acta», 1985, 67, № 4, 271—274 (англ.)

Неэмпирическим методом валентных связей в *sp*-базисе (ОСТ-6ГФ) выполнен расчет электронного строения бирадикала  $S_4^{2+}$  (I) в основном состоянии при эксперим. геометрии I. Вес структур, соответствующих «удлиненным связям» (аналогично изоэлектронной циклич. 2-электронной 4-центровой системе  $S_2N_2$ ) составляет ~50%, при этом структура с локализацией всего заряда исна на одном атоме S имеет преибражимо малый вес. Отмечено, что резонанс шести валентных структур с наибольшими весами (с двумя нейтр. и двумя положительно заряженными атомами S) эквивалентен резонансу двух структур «повышенной валентности» с равномерным распределением положительного заряда между всеми атомами S, что приводит к дополнительному понижению полной энергии на ~0,04 ат. ед.

С. П. Долин

X. 1985, 19,  
N 20

9.27  
S4

1985

9 Д130. Расчеты нёэмпирическим методом валентных схем и бирадикальный со спаренными спинами характер  $S_4^{2+}$ . Ab initio valence bond calculations and the spin-paired diradical character of  $S_4^{2+}$ . Skrezenek Frances L., Harcourt Richard D. «Theor. chim. acta», 1985, 67, № 4, 271—274 (англ.)

Неэмпирическим методом валентных схем (ВС) в базе ОСТ-БГФ, а также неэмпирич. методом ССП МО ЛКАО в том же базисе исследовано электронное строение 4-членной циклич. молекулы  $S_4^{2+}$  в основном (с нулевым спином) и низшем по энергии триплетном состояниях. Энергии МО ниже, чем энергии ВС, как и в случае аналогичного расчета  $S_2N_2$ , однако полная энергия ВС на 0,29 ат. ед. ниже. Показано, что метод ВС приводит к большим (порядка 50%) весам структуры с длинной (диагональной) связью, в которой спины спарены. Это результат малочувствителен к выбору орбитальных экспонент.

В. Л. Лебедев

Электронные  
структурные  
аб initio  
расчеты

д. 1985, 18, № 9.

Sy<sup>2+</sup>  
S<sub>4</sub>(<sup>2</sup>)

(DM-22270)

1985

Tang T, Bader R.F.W.,  
et al,

MS.

Inorg Chem., 1985, 24,  
N13, 2047-2053.

$S_4^{2+}$

1987

108: 173814v Electronic structure and bonding properties of sulfur, selenium, tellurium, bismuth, tin and germanium cluster ions  $S_4^{2+}$ ,  $Se_4^{2+}$ ,  $Te_4^{2+}$ ,  $Bi_4^{2-}$ ,  $Sn_4^{2-}$  and  $Ge_4^{2-}$ . Chen, Zhida; Lin, Yingzhang; Xu, Gungxian (Dep. Chem., Beijing Univ., Beijing, Peop. Rep. China). *Wuji Huaxue* 1987, 3(3), 1-6 (Ch). The electronic structure and bonding properties of cluster ions  $S_4^{2+}$ ,  $Se_4^{2+}$ ,  $Te_4^{2+}$ ,  $Bi_4^{2-}$ ,  $Sn_4^{2-}$  and  $Ge_4^{2-}$  were studied by EHMO method. The comparison of the bonding property between  $S_4^{2+}$ ,  $Se_4^{2+}$ ,  $Te_4^{2+}$ ,  $Bi_4^{2-}$  with the plane square geometry and the butterfly geometry was performed. The stability of  $Sn_4^{2-}$  and  $Ge_4^{2-}$  ions was interpreted by the comparison of the electronic structure between  $Sn_4^{2-}$ ,  $Ge_4^{2-}$  ions and  $P_4$ ,  $As_4$  clusters.

(75)  $S_4^{2+}$ ,  $Te_4^{2+}$ ,  $Bi_4^{2-}$ ,  $Sn_4^{2-}$ ,  $Ge_4^{2-}$

C.A. 1988, 108, n 20

S<sub>4</sub><sup>2+</sup>  
S<sub>4</sub> (2)

Om. 27075

1987

Harcourt R.D., Skعزenez  
F.L.,

M.N.  
(K.S. seek.  
pacem)

J. Mol. Struct. Theochem;  
1987, 151, 203-213.

S<sub>4</sub>

(OM. 31749)

1988

Mohl D., Jones R.O.  
et al.,

структура,  
нейр.  
пакет

J. Chem. Phys., 1988,  
89, N 11, 6823-6835.

S<sub>4</sub>

lom. 30409

1988

Jacob et. E.,

Ti, Di; J. Phys. and Chem. Ref.

Data, 1988, 17, N2, 406.

9  
S4

1988

4 Л316. Изучение возбужденных электронных состояний  $S_4$ ,  $S_3$  и  $S_2$  пирена методом УФ-резонансного КР. Ultraviolet resonance Raman study of the pyrene  $S_4$ ,  $S_3$ , and  $S_2$  excited electronic states / Jones Colleen M., Asher Sanford A. // J. Chem. Phys.— 1988.— 89, № 5.— С. 2642—2661.— Англ.

Исследованы спектры резонансного КР (375—1650  $\text{cm}^{-1}$ ) растворов пирена (I) в ацетонитриле при возбуждении импульсным излучением лазеров с  $\lambda = 220$ —340 нм. Проведен анализ зависимости интенсивности линий КР полносимметричных колебаний I от частоты возбуждающего света. Установлены корреляции между частотами этих колебаний в спектрах КР и компонент вибронной структуры в спектре поглощения I. Построены профили возбуждения линий КР I, которые интерпретированы с учетом не-кондоновских вкладов в интенсивность линий КР I. Отмечено изменение населенностей уровней и образование промежуточных форм I под действием мощных лазерных импульсов. Библ. 44.

И. В. А.

спектр КР

(12) 18

cf. 1989, N 4

S<sub>4</sub>

LOM 29854

1988

meopem-  
pacrem  
cmprym-  
u  
снадимет.

Haitner R.S.,  
Randolph B., et al.,  
J. Comput. Chem.,  
1988, 8, N 5,  
658-662

§4

1990

) 9 Б1024. Решение старой проблемы в химии элементарной серы. Теоретическое исследование тетрамера из атомов серы. Resolution of a long-standing problem in elemental sulfur chemistry: a theoretical study of tetrasulfur / Quelch Geoffrey E., Schaefer Henry F. III, Marsden Colin J. // J. Amer. Chem. Soc.— 1990.— 112, № 24.— С. 8719—8733.— Англ.

М.Н.

Неэмпирическим методом изучена ПВ потенциальной энергии (ППЭ) мало исследованного аллотропа элементарной серы состава  $S_4$ . Рассмотрено 11 изомеров различного строения. Расчеты изомеров в синглетном состоянии проведены на уровнях ССП, двух- и трехконфигурац. ССП и конфигурац. вз-вия с учетом одно- и двухкратных возбуждений. Для наиболее стабильных изомеров расчеты проведены также многоссылочным методом КВ и в рамках различных вариантов теории связанных кластеров. Использованы расширенные двух-

Х. 1991, № 9

и трехэкспонентные базисные наборы, дополненные двумя наборами поляризац. ф-ций. Для большинства стабильных изомеров рассчитаны гармонич. частоты колебаний, ИК- и КР-интенсивности. Найдено, что глобальному минимуму на ППЭ отвечает синглетная плоская цис-структура с симметрией  $C_{2v}$ . Транс-изомер всего на 10 ккал/моль менее стабилен. Триплетный транс- и спиральный изомеры практически вырождены. Дано отнесение частот колебаний в ИК-спектрах и полос поглощения в электронных спектрах для синглетных цис- и транс-изомеров. Результаты расчетов сопоставлены с эксперим. данными. Библ. 76.

И. Н. Сенчения



84

1990

113: 238298e Resolution of a long-standing problem in elemental sulfur chemistry: a theoretical study of tetrasulfur. Quelch, Geoffrey E.; Schaefer, Henry F., III; Marsden, Colin J. (Cent. Comput. Quantum Chem., Univ. Georgia, Athens, GA 30602 USA). *J. Am. Chem. Soc.* 1990, 112(24), 8719-33 (Eng). Theor. studies of the potential energy surface of a poorly understood allotrope of elemental sulfur, S<sub>4</sub>, have been performed with use of ab initio electronic structure theory. Eleven different isomers have been considered. Singlet states have been studied with SCF, two-configuration SCF (TCSCF), CISD (single and double excitation CI), and TC-CISD levels of theory, and selected triplet states have also been investigated with SCF and CISD theory. A few studies have also been performed on the most stable isomers with MR (multi-ref.)-CISD, CCSD (coupled cluster theory with single and double substitutions), and CCSDT-1 (CCSD with linearized triple substitutions) methods. Two basis sets, of double- $\xi$  plus polarization (DZP) and triple- $\xi$  plus double polarization (TZ2P) quality, resp., have been used. The

Ti, Pi.  
racem

C.A. 1990, 113, N26

effects of f-functions on the S-S bond have been investigated with  $S_2$  as an example with a TZ2P+f basis set. Harmonic vibrational frequencies, IR, and some Raman intensities have been evaluated, as have the ionization energies and the lowest energy electronic transitions for the most stable isomers. Exptl. data for these properties are compared with our theor. results. The global min. of  $S_4$  is predicted to have a singlet cis planar structure ( $C_{2v}$  symmetry); there are several low-lying states, of which the closest to the global min. are a singlet trans isomer ( $\approx 10$  kcal/mol above the cis), followed by triplet trans and helical isomers that are almost degenerate, and singlet four-membered puckered ring and branched three-membered ring isomers that are also almost degenerate. We have been able to assign most of the vibrational spectra previously attributed to  $S_4$  to fundamentals of the cis and trans singlet isomers, and the electronic absorptions assigned to two isomers of  $S_4$  match satisfactorily with the theor. predicted transition energies for these isomers.

84

1991

Billmers Richard I.  
Smith Allan L.

crekmpoi J. Phys. Chem. 1991,  
95(11), 4242-5.

(cell. S<sub>3</sub>;  $\frac{1}{3}$ )

S<sub>4</sub>

[DM. 35272] 1991

Brabson G.D., Mielke L.,  
Andrews L.,

J. Phys. Chem. 1991, 95,  
N<sup>o</sup> 1, 79-86.

cneekmp.  
E  
MB. Ar

1991

S<sub>4</sub>

116: 28524m Electron affinities, shake-up affinities, and ionization energies of sulfur tetramer isomers. Von Niessen, W. (Inst. Phys. Theor. Chem., Tech. Univ. Braunschweig, D-3300 Braunschweig, Germany). *J. Chem. Phys.* 1991, 95(11), 8301-8 (Eng). Nine isomers of S<sub>4</sub>(D<sub>n</sub>b, D<sub>2h</sub>, D<sub>4h</sub>, D<sub>3h</sub>, D<sub>2d</sub>, C<sub>2</sub>, C<sub>2h</sub>, C<sub>2v</sub>, C<sub>s</sub>) have been studied with large basis sets in Green function, CASSCF, and single and multi ref. CI approaches. The C<sub>2v</sub> and D<sub>2h</sub> isomers are found to be nearly equally stable with the C<sub>2v</sub> isomer 1 kcal/mol below the D<sub>2h</sub> form and C<sub>2h</sub> isomer about 10 kcal/mol higher in energy. All isomers have an appreciable electron affinity and some have several bound neg. ion states. Besides normal electron affinities they have shake-up affinities, which may also be strongly pos. The lowest ionization energies of the isomers range from 7.5 to 9 eV.

(Ae, cm a8244  
9)

C.A. 1992, 116, N 4

84

1991

№ 7 Д110. Сродство к электрону, сродство встряски и энергии ионизации изомеров  $S_4$ . Electron affinities, shake-up affinities, and ionization energies of  $S_4$  isomers / von Niessen W. // J. Chem. Phys.— 1991.— 95, № 11.— С. 8301—8308.— Англ.

С применением большого базиса в приближениях ф-ции Грина, метода ССП в полном пространстве активных орбиталей и метода КВ с набором однократно- и двукратно возбужденных исходных конфигураций изучались изомеры  $S_4$  ( $D_{\infty h}$ ,  $D_{2h}$ ,  $D_{4h}$ ,  $D_{3h}$ ,  $D_{2d}$ ,  $C_{2v}$ ,  $C_{2h}$ ,  $C_{3v}$ ,  $C_s$ ). Показано, что изомер  $C_{2v}$  на 1 ккал/моль стабильнее  $D_{2h}$ , а изомер  $C_{2h}$  на  $\approx 10$  ккал/моль выше по энергии. Все изомеры имеют значительное сродство к электрону (0,5—3,5 эВ). Некоторые изомеры имеют несколько связанных состояний отрицат. иона. Проведены также расчеты величин сродства к электрону встряски. Миним. энергии ионизации находятся в интервале 7,5—9 эВ.

М.Н.

Ф 1992, № 7

1991

24

» 16 Б1038. Сродство к электрону, сродство встряхивания и энергия ионизации  $S_4$  изомеров. Electron affinities, shake-up affinities, and ionization energies of  $S_4$  isomers / von Niessen W. // J. Chem. Phys.— 1991.— 95, № 11.— С. 8301—8308.— Англ.

Методом конфигурац. взаимодействия с учетом однократных и двукратных возбуждений по отношению к нескольким исходным конфигурациям (метод КВ НИК) рассчитаны изомеры молекулы  $S_4$  симметрии  $D_{\infty h}$ ,  $D_{2h}$ ,  $D_{4h}$ ,  $D_{3h}$ ,  $D_{2d}$ ,  $C_{2v}$ ,  $C_{2h}$ ,  $C_{3v}$  и  $C_s$ . Использован базис сгруппированных гауссовых ф-ций  $(13s10p3d)/[8s6p3d]$ . Орбитали получены многоконфигурац. методом ССП в полном активном пространстве. Методом КВ НИК и методом ф-ции Грина для рассмотренных изомеров определены значения сродства к электрону, потенциалов ионизации, а также сродства к электрону для конечного состояния встряхивания. Все изомеры имеют положит. сродство к электрону и для анионов некоторых из них найдено несколько связанных состояний.

А. А. Сафонов

Х. 1992, N 16

$S_4$

LM-36725

1992

Hassanzadeh P, Andrews L,  
creamy  
mannose J. Phys. Chem. 1992, 96,  
6579 - 6585.

Vibronic Absorption spectra of  
 $S_3$  and  $S_4$  in 50% LiCl aqueous.

$S_{ij}^{d+}$ ,  $S_{ij}^+$ ,  $S_{ij}^l$

1992

117: 137992d Structure and bonding in square-planar chalcogen rings. Saethre, Leif J.; Gropen, Odd (Inst. Math. Phys. Sci., Univ. Tromso, N-9000 Tromso, Norway). *Can. J. Chem.* 1992, 70(2), 348-52 (Eng). The mol. structures of square-planar  $X_4^{2+}$ ,  $X_4^+$ , and  $X_4$  ( $X = S, Se, Te$ ) were calc'd. using the effective core potential model. For  $X_4^{2+}$  the agreement between exptl. and calcd. values is excellent provided that  $d$  orbitals are included in the basis set. For the hypothetical mols.  $X_4^+$  and  $X_4$  the bond lengths increase dramatically as one and, subsequently, two electrons are added to the systems. This increase is almost exclusively due to loss of bonding in the  $\pi$  system, whereas the bonding in the  $\sigma$  system remains relatively unaltered. Covalent single bond radii were predicted for S, Se, and Te for which the influence of  $\pi$  repulsion is removed. From the calcd. variation of bond lengths with at. charge, bond lengths are predicted for a series of planar disulfide rings.

(+2)  $\otimes$  1

$Se_4^{d+}$ ,  $Se_4^+$ ,  $Se_4^l$

2)  $Te_4^{d+}$ ,  $Te_4^+$ ,  $Te_4^l$

C.A. 1992, 117, n 14

*S<sub>4</sub>*

OM 36856

1992

, 117: 258621r Complex electron affinity processes in clusters of sulfur and silicon. Von Niessen, W.; Zakrzewski, V. G. (In: Phys. Theor. Chem., Tech. Univ. Braunschweig, W-3300 Braunschweig, Germany). *Ber. Bunsen-Ges. Phys. Chem.* 1992, 96(9), 1225 (Eng). Vertical, and in some cases adiabatic, electron affinities were calcd. for the clusters S<sub>4</sub> and Si<sub>n</sub> ( $n = 3-7$ ) by using large basis sets. The effects of electron correlation were taken into account by CI and Green-function techniques. The clusters showed a complex behavior upon electron attachment. The isomers of S<sub>4</sub> showed normal electron-capture processes, as well as electron attachment with shake-up. The Si clusters showed multiple affinity states resulting from capture of an electron into different orbitals: Si<sub>3</sub> C<sub>2v</sub> has at least three, Si<sub>4</sub> D<sub>2h</sub> four, Si<sub>5</sub> D<sub>3h</sub> two, Si<sub>6</sub> D<sub>4h</sub> one, Si<sub>7</sub> C<sub>2v</sub> three, and Si<sub>8</sub> two affinity states (vertical processes: Si<sub>n</sub> + e<sup>-</sup> → Si<sub>n</sub><sup>-</sup> + hν). For the Si<sub>n</sub> clusters, in some cases shake-up affinities were calcd. which were pos. The effects of electron correlation on the electron affinities were extremely large for the Si clusters in particular. In several cases, the differences between the adiabatic and vertical electron affinities were very large, amounting up to 1.5 eV.

(H) (D)

C.A. 1992, 117, n26.

Si<sub>n</sub>  $n=3 \text{--} 7$

*S<sub>4</sub>*

1993

, 118: 263012t Resonance Raman spectra of the tetrasulfur molecule in the sulfur vapor. Picquenard, E.; Boumedien, M. S.; Corset, J. (Lab. Spectrochim. Infrarouge Raman, CNRS, 94320 Thain, Fr.). *J. Mol. Struct.* 1993, 293, 63-6 (Eng). Raman spectra of S vapor at 620° under 530.8 nm excitation basically consist of resonance Raman spectra of the S<sub>4</sub> mol. Only the 3 sym. modes are obsev.; valence force field calcns. confirm the trans planar structure C<sub>2h</sub> of S<sub>4</sub>.

C.A. Di, et al.  
NOCM-

C.A. 1993, 118, N26

$S_4$

1994

Bicai Pan; Changkui  
Duan, et al.

M.N.

Phys. Rev. B. 1994. 50,  
N 23. C. 17556 - 17559.



(Cep.  $S_2$ ;  $\frac{\pi}{11}$ )

S<sub>4</sub><sup>2+</sup>

(DM. 37587)

1994

, 120: 280784e—On the structure of S<sub>4</sub><sup>2+</sup> and its formation from 2S<sub>2</sub><sup>+</sup>. Ab initio SCF and CASSCF studies. Sannigrahi, Mousumi; Grein, Friedrich (Dep. Chem., Univ. New Brunswick, Fredericton, NB Can. E3B 6E2). *Can. J. Chem.* 1994, 72(2), 295-303 (Eng.). Ab initio studies up to the MP2/6-31G\* level were performed on the geometry and energy of S<sub>4</sub><sup>2+</sup>. Eleven different structures were considered. In the RHF/6-31G\* method, the square structure is the most stable, followed by the trans-planar C<sub>2h</sub> structure. S<sub>4</sub><sup>2+</sup> (square) is 105.9 kcal/mol less stable than 2S<sub>1</sub><sup>2+</sup>. Min. energy paths were calcd. for the reactions 2S<sub>1</sub><sup>+</sup> → S<sub>4</sub><sup>2+</sup>, both in C<sub>2v</sub> and D<sub>2h</sub> symmetry. Using RHF/6-31G\*, the transition state lies about 50 kcal/mol above the energy of square planar S<sub>4</sub><sup>2+</sup>. Using CASSCF or MP2 methods this energy can be significantly lowered (to about 33 kcal/mol in MP2/6-31G\*). Calcd. vibrational frequencies for the square structure are also given and compared with exptl. values.

Copy Kappa, Di,  
CNAF Unb.  
Meop. Paul

C.A. 1994, 120, N22

$S_4$

1994

Zakrzewski V.G.,  
von Nieszen W.

He, J, Do, Theor. Chim. Acta 1994,  
no. 88 (1), 75 - 96.  
pacrem

(cuz.  $S_3$  ;  $\hat{ii}$ )

S4 -

1995

F: S4-

P: 3

05.Д.0088. Кольца и цепи в кластерных анионах серы от  $S\{-\}$  до  $S[9]\{-\}$ .  
Теория (моделированный отжиг) и эксперимент (фотоэлектронный отрыв). Rings and chains in sulfur cluster anions  $S\{-\}$  to  $S[9]\{-\}$ : Theory (simulated annealing) and experiment (photoelectron detachment) / Hunsicker S., Jones R. O., Gantefor G. // J. Chem. Phys. - 1995. - 102, N 15. - C. 5917-5936. - Англ.

Density functional calculations with simulated annealing have been performed for singly charged anions of sulfur clusters with up to nine atoms. The calculations predict the existence of two classes of structure: open (chain-like) and closed (ring-like), for which the vertical detachment energies (VDE) and the adiabatic electron affinities for transitions to states of the neutral clusters show pronounced differences. These calculations are complemented by photoelectron detachment measurements on sulfur cluster ions with up to 11 atoms using a pulsed arc cluster ion source. The measurements provide unambiguous evidence for the existence of two types

X. 1996, N5

of isomers in both S[6]{-} and S[7]{-}. Although ring structures are generally energetically more stable than chain structures, the environment used to generate the larger clusters ( $n > 7$ ) favors the formation of the latter. The measured VDE and vibration frequencies agree well with the calculated values.



1999

F: S4

P: 3

131:107089 Vibrational study and molecular structure of two S<sub>4</sub> isomers in sulphur vapor. Boumedien, M. S.; Corset, J.; Picquenard, E. (Laboratoire de Dynamique, Interactions et Reactivite, CNRS UPR 1580, Thiais 94320, Fr.). J. Raman Spectrosc., 30(6), 463-472 (English) 1999 Raman spectra of sulfur vapor for two pressures (0.1 and 0.2 MPa) and various temps. up to 700.degree.C were recorded using several krypton ion and argon ion laser exciting radiation wavelengths. Resonance Raman enhancement effects in conjunction with isotopic effects allow one to distinguish three fundamental vibrational

C.A. 1999, 131

modes (.nu.s, .nu.c, .delta.s) a green absorbing (.lambda.max = 530 nm) chain-like S<sub>4</sub> mol. from the mode belonging to S<sub>3</sub> and other cyclic S<sub>6</sub>, S<sub>7</sub> and S<sub>8</sub> mols. Moreover, using a 647.1 nm excitation wavelength, several vibrational modes of another red absorbing (.lambda.max = 560-660 nm) branched-ring S<sub>4</sub> isomer were characterized. Finally, normal coordinate treatments confirm the trans planar C<sub>2h</sub> structure of the chain-like S<sub>4</sub> species, whereas a comparison o the obsd. and calcd. wavenumbers for the red absorbing S<sub>4</sub> isomer is in agreement with a branched-ring structure.

F: S42+

1999

P: 3

132:15807 Preference of np.pi.-np.pi. Bonding ( $n = 3, 4$ ) over Purely .sigma.-Bonded Species in M42+ ( $M = S, Se$ ): Geometries, Bonding, and Energetics of Several M42+ Isomers. Krossing, Ingo; Passmore, Jack

Chemistry Department, University of New Brunswick Fredericton, NB E3B 6E2, Can. Inorg. Chem., 38(23), 5203-5211 (English) 1999 The dimerization energies of  $2M2+$  to give M42+ ( $M = S, Se$ ) were calcd. as input into thermodn. Born-Fajans-Haber cycle calcns. to det. the relat stabilities of salts of these mono- and dications in the solid state. Computed dimerization energies showed a strong dependence on the basis se and correlated method utilized. Coupled cluster calcns., compd. methods hybrid HF/DFT methods employing large basis sets

C. A. 2000, 132

[CCSD(T)/cc-pV5Z, CBS-Q B3PW91/6-  
311+G(3df)//B3PW91/6-311+G\*] had to be used and  
showed an av. dimerization energy of 258 (199) kJ/mol  
for S (Se). Square planar M42+ (S, Se) was fully  
optimized (B3LYP, B3PW91), and the calcd. vibrational  
spectra of M42+ were then compared to averaged exptl.  
data to derive scal factors. The structure, bonding,  
and energetics of 7 starting geometries the M42+ (M =  
S, Se) dication were computed (B3PW91), as well as  
AIM and analyses of these species. The global min.  
of the examd. S (Se) species the planar, 6.pi.-arom.  
D4h sym. square, which is 76 (106) and 155 (115)  
kJ/mol more stable than a D2h sym. .pi.\*-.pi.\*-bonded  
rectangular (S2+)2 [(Se2+)2] dimer and a classical,  
.sigma.-bonded, butterfly-shaped isomer, resp. This  
supports the thesis that the obsd. geometries of the  
homopoly cations of groups 16 and 17 and related  
species maximize pos. charge delocalization,  
resulting in thermodynamically stable np.pi.-np.pi.  
(n >= 3) and .pi.\*-.pi.\* bonds. The formation  
of chain-like (Te42+)n, polymeric Te84+, and square  
planar Te42+ is accounted for semiquant. The  
published, exptl. enthalpy of formation of gaseous  
S4+ (1

131 kJ/mol) was computationally shown to be due to a  
fragmentation of S6 to give S4+ and confirming  
earlier photoionization studies. An enthalpy of  
formation of kJ/mol was then established for the  
gaseous S4+ cation, 159 kJ/mol lower the erroneously  
assigned published exptl. value.

F: S42-

P: 3

133:65365 Polysulfide Anions II: Structure and  
Vibrational Spectra of the and S<sub>5</sub>2- Anions. Influence of  
the Cations on Bond Length, Valence, and To Angle. El  
2000

Jaroudi, Omar; Picquenard, Eric; Demortier,  
Antoine; Lelieur, Jean-Pierre; Corset, Jacques  
Laboratoire de Dynamique Interactions et  
Reactivite, Universite P. M. Curie Centre National  
de la Recherche Scient Thiais 94320, Fr.

Inorg. Chem., 39(12), 2593-2603 (English)

2000 The influence of the cations on bond length,  
valence, and torsion angle S<sub>4</sub>2- and S<sub>5</sub>2- anions was  
examd. in solid alkali tetra- and pentasulfides  
relating their Raman spectra to their known x-ray  
structures through a fo field anal. The IR and  
Raman spectra of BaS<sub>4</sub>.cntdot.H<sub>2</sub>O and the Raman sp

of  $(\text{NH}_4)_2\text{S}_4 \cdot \text{cntdot} \cdot n\text{NH}_3$ ,  $\gamma\text{-Na}_2\text{S}_4$ , and  $\delta\text{-Na}_2\text{S}_5$  are presented. Similarity of spectra of  $\gamma\text{-Na}_2\text{S}_4$  with those of  $\text{BaS}_4 \cdot \text{cntdot} \cdot \text{H}_2\text{O}$  suggest similar structures of the  $\text{S}_4^{2-}$  anions in these 2 compds. with a torsion angle smaller than 90. degree.. The variations of SS bond length, SSS valence angle and dihedral angle of  $\text{Sn}^{2-}$  are related to the polarization of the lone pair electronic charge of the anion by the elec. field of the cations. A corr between the torsion angle and the SSS valence angle is shown as that prev reported between the length of the bond around which the torsion takes place and the dihedral angle value. These geometry changes are explained by the hyperconjugation concept and the electron lone-pair repulsion.

2000

F: S42+

P: 3

132:199592 Basis set and correlation effects in the calculation of accura gas phase dimerization energies of two M<sub>2</sub><sup>+</sup> to give M<sub>4</sub><sup>2+</sup> (M = S, Se). Jenkins, H. Donald B.; Jitariu, Luminita C.; Krossing, Ingo; Passmore, Jack; Suontamo, Reijo Chemistry Department, University of Warwick Coventry CV4 7AL, UK J. Comput. Chem., 21(3), 218-226 (English) 2000 The dimerization energies of two M<sub>2</sub><sup>+</sup> to give M<sub>4</sub><sup>2+</sup> (M = S, Se) were calcd. They depend strongly on the size of the basis set and the correla method used (ranging from 217 to 522 kJ/mol, M = S) and, therefore, a systematic study of basis set and

C.A. 2000, 132

correlation effects was performed [MP2, MP3, MP4(SDQ), CCSD, CCSD(T)]. The introduction of a second set of polarizing d-functions caused a significant redn. of the dimerization energies, but neither of the above limits is reached by the MP<sub>n</sub> ( $n = 2, 3$ ) theory, even with the largest basis sets [cc-pVQZ]. However, convergence achieved by CCSD(T), compd. methods or hybrid HF/DFT calcns. employing flexible basis sets [e.g., CCSD(T)/cc-pV5Z, CBS-Q or B3PW91/6-311+G(3df)] revealed an av. dimerization energy of 261 (199) kJ/mol for sulfur (selenium).  $\Delta\text{H}_{298}$  (2S<sup>2+</sup> .fwdarw. S<sup>42+</sup>) is 257 kJ/mol. In the sele system the dependence on basis set and correlated method was less pronounced.